

Chocoの概要

Dec 9th, 2013

概要

- 連続空間のハミルトニアンを考える。

$$\mathcal{H} = -\sum_{i=0}^N (\lambda \nabla_i^2 - V(\mathbf{r}_i)) + \sum_{\langle i,j \rangle} U(|\mathbf{r}_i - \mathbf{r}_j|)$$

$$\hat{\mathcal{K}} = \hat{\mathcal{H}} - \mu \hat{N}$$

- 時間方向も空間方向も連続
- 見えてる粒子 ($N_c \leq N$)と見えている世界線 ($N_w = N_c - \sum_k c_k$)と見えてない粒子 ($N - N_c$ 個)がある。
- 配位空間のアップデートは次のプロセスからなる。
 - オペレーター(バーテックス)数の更新
 - 虚時間方向のワインディングナンバー $\{c_k\}$ の更新
 - 見えている世界線数 N_w の更新
- バーテックス間は積分されている。
- バーテックスの位置は特定されている。→ MCサンプルに任せる
- 和をどこまで残すか検討する必要あり？比をとるのが大変。

やること

- 調和振動子ポテンシャル中の $N=1$ の問題を計算できるか確かめる。
 - $V(r)$ 項からくるオンサイトバーテックスだけを挿入する。

$$\mathcal{H} = -\sum_i (\lambda \nabla_i^2 - V(r))$$

$$V(r) = \Omega r^2$$

Hamiltonian

$$H = H^{kin} + H^{po} + H^{int}$$

$$H^{kin} = \sum_{i=0}^{N-1} H_i^{kin} = -\sum_{i=0}^{N-1} \lambda \nabla_i^2, \quad H^{po} = \sum_{i=0}^{N-1} H_i^{po} = \sum_{i=0}^{N-1} V(r_i), \quad H^{int} = \sum_{(i>j)} H_{i,j}^{int} = \sum_{(i>j)} U(|r_i - r_j|),$$

$$\hat{K} = \hat{H} - \mu \hat{N}$$

$$\Xi = Tr[e^{-\beta K}]$$

$$= \sum_{N=0}^{\infty} \sum_{\{\psi_N\}} \langle \psi_N | e^{-\beta(\hat{H} - \mu \hat{N})} | \psi_N \rangle$$

$$\approx \sum_{N=0}^{\infty} e^{-\beta \mu N} \sum_{\{\psi_N\}} \langle \psi_N | e^{-\beta \hat{H}} | \psi_N \rangle = \sum_{N=0}^{\infty} e^{-\beta \mu N} Z^{(N)}$$

$$|\psi_N\rangle = |\mathbf{r}_0, \dots, \mathbf{r}_{N-1}\rangle$$

$$\begin{aligned}
\Xi &= \sum_{N=0}^{\infty} e^{\beta\mu N} \sum_{\{\psi\}} \langle \psi | e^{-\beta[H^{kin} + H^{po} + H^{int}]} | \psi \rangle, \\
&= \sum_{N=0}^{\infty} e^{\beta\mu N} \lim_{N_{\tau} \rightarrow \infty} \sum_{\{\psi_t\}} \prod_{t=0}^{N_{\tau}-1} \langle \psi_t | e^{-\Delta\tau H^{kin}} e^{-\Delta\tau H^{po}} e^{-\Delta\tau H^{int}} | \psi_{t+1} \rangle, \\
&\quad \left(\psi_{N_{\tau}} = \psi_0, \Delta\tau = \beta / N_{\tau} \right) \\
&= \sum_{N=0}^{\infty} e^{\beta\mu N} \lim_{N_{\tau} \rightarrow \infty} \sum_{\{\psi_{ti}\}} \prod_{t=0}^{N_{\tau}-1} \\
&\quad \prod_{i=0}^{N-1} \langle \psi_{ti} | e^{-\Delta\tau H_i^{kin}} | \psi_{ti+1} \rangle \times \prod_{i=0}^{N-1} \langle \psi_{tN} | 1 - \Delta\tau H_i^{po} | \psi_{tN} \rangle \prod_{c(i>j)=0}^{N_c-1} \langle \psi_{tN} | 1 - \Delta\tau H_{i,j}^{int} | \psi_{tN} \rangle \\
&\quad \left(\begin{aligned} &| \psi_{t0} \rangle = | \psi_t \rangle, \\ &| \psi_{tN} \rangle = | \psi_{t+1} \rangle, N_c = \frac{N(N-1)}{2} \end{aligned} \right)
\end{aligned}$$

r_i に変更を加えることができるのは H_i^{kin} のみ

$$\langle \psi_{ti} | e^{-\Delta \tau H_i^{kin}} | \psi_{ti+1} \rangle = (4\pi\lambda\Delta\tau)^{-d/2} \exp\left[-\frac{\{\mathbf{r}_{t+1i} - \mathbf{r}_{ti}\}^2}{4\lambda\Delta\tau}\right].$$

$$|\psi_t\rangle = |\mathbf{r}_{t0} \dots \mathbf{r}_{tN-1}\rangle,$$

$$|\psi_{ti}\rangle = |\mathbf{r}_{t+10} \dots \mathbf{r}_{t+1i-1}, \mathbf{r}_{ti} \dots \mathbf{r}_{tN-1}\rangle,$$

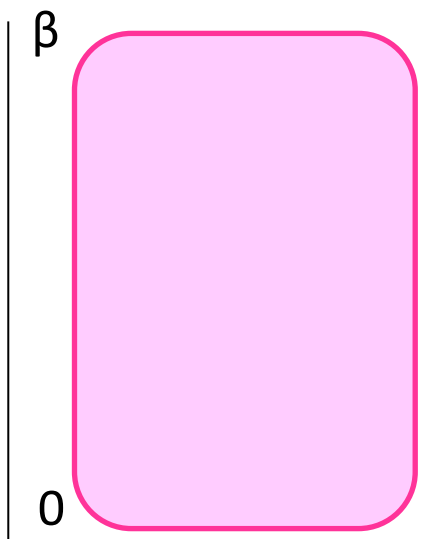
$$e^{-\Delta \tau H_i^{kin}} |\psi_{ti+1}\rangle = e^{-\Delta \tau H_i^{kin}} |\mathbf{r}_{t+10} \dots, \mathbf{r}_{t+1i-1}, \boxed{\mathbf{r}_{t+1i}}, \mathbf{r}_{ti+1} \dots \mathbf{r}_{tN-1}\rangle$$

$$= (4\pi\lambda\Delta\tau)^{-d/2} \exp\left[-\frac{\{\mathbf{r}_{t+1i} - \mathbf{r}_{ti}\}^2}{4\lambda\Delta\tau}\right] |\mathbf{r}_{t+10} \dots, \mathbf{r}_{t+1i-1}, \boxed{\mathbf{r}_{ti}}, \mathbf{r}_{ti+1} \dots \mathbf{r}_{tN-1}\rangle$$

$$\begin{aligned}
\Xi &= \sum_{N=0}^{\infty} e^{\beta\mu N} \lim_{N_{\tau} \rightarrow \infty} \sum_{\{\psi_{ti}\}} \prod_{t=0}^{N_{\tau}-1} \\
&\quad \prod_{i=0}^{N-1} \left[(4\pi\lambda\Delta\tau)^{-d/2} \exp \left[-\frac{(\mathbf{r}_{t+1i} - \mathbf{r}_{ti})^2}{4\lambda\Delta\tau} \right] \right] \\
&\quad \times \prod_{i=0}^{N-1} \left\langle \psi_{tN} \left| \sum_{G_{ti}^{po}} \left(-\Delta\tau H_i^{po} \right)^{G_{ti}^{po}} \right| \psi_{tN} \right\rangle \prod_{c(i>j)=0}^{N_c-1} \left\langle \psi_{tN} \left| \sum_{G_{tc}^{int}} \left(-\Delta\tau H_{i,j}^{int} \right)^{G_{tc}^{int}} \right| \psi_{tN} \right\rangle, \\
&= \sum_{N=0}^{\infty} e^{\beta\mu N} \lim_{N_{\tau} \rightarrow \infty} \sum_{\{\psi_{ti}\}} \sum_{\{G_{ti}^{po}\}, \{G_{tc}^{int}\}} \prod_{t=0}^{N_{\tau}-1} \\
&\quad \prod_{i=0}^{N-1} \left[(4\pi\lambda\Delta\tau)^{-d/2} \exp \left[-\frac{(\mathbf{r}_{t+1i} - \mathbf{r}_{ti})^2}{4\lambda\Delta\tau} \right] \right] \\
&\quad \times \prod_{i=0}^{N-1} \left\langle \psi_{t+1} \left| \left(-\Delta\tau H_i^{po} \right)^{G_{ti}^{po}} \right| \psi_{t+1} \right\rangle \prod_{c(i>j)=0}^{N_c-1} \left\langle \psi_{t+1} \left| \left(-\Delta\tau H_{i,j}^{int} \right)^{G_{tc}^{int}} \right| \psi_{t+1} \right\rangle \\
&= \lim_{N_{\tau} \rightarrow \infty} \sum_{\{G_{ti}^{po}\}, \{G_{tc}^{int}\}} W(\{G_{ti}^{po}\}, \{G_{tc}^{int}\})
\end{aligned}$$

N=1ですべての G^{po}, G^{int} 0ときの重み のとき

- 空間方向に対する積分を実行



$$\begin{aligned} W(\{G_{ti}^{po} = 0\}, \{G_{tc}^{int} = 0\}) \\ = \int_0^L d\mathbf{r}_0 \frac{(4\pi\lambda\beta)^{-d/2}}{L^d} \sum_a \exp\left(-\frac{(aL + \mathbf{r}_0 - \mathbf{r}_0)^2}{4\lambda\beta}\right), \\ = (4\pi\lambda\beta)^{-d/2} \sum_a \exp\left(-\frac{(aL)^2}{4\lambda\beta}\right) \end{aligned}$$

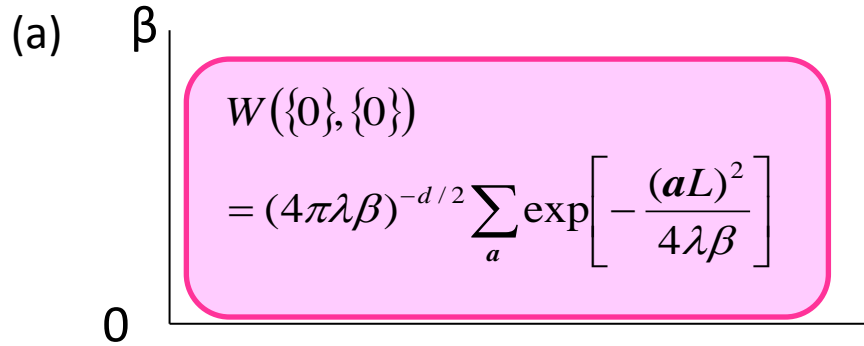
a:空間方向のワインディングナンバー

N=1でG^{po}が一つだけ入っているとき

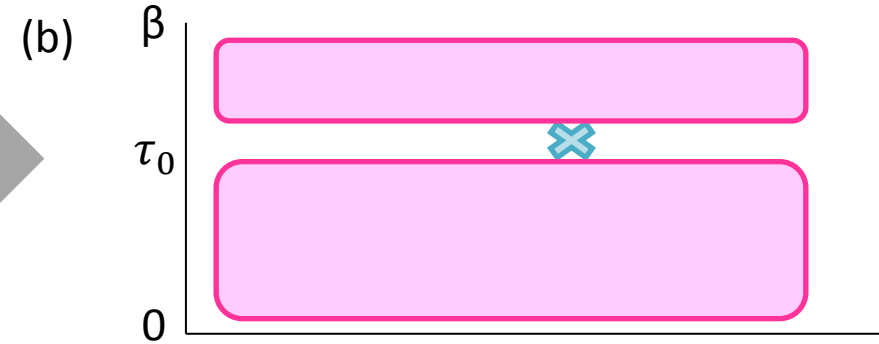
この場合、N_c ≤ N, N_c = N_w

$$\rho^{po}(\mathbf{r}_{ti}) = \langle \psi_t | \left(-H_i^{po} \right)^{G_{ti}^{po}} | \psi_t \rangle = E_{shift}^{po} - \Omega \mathbf{r}_{ti}^2$$

(a)



$$W(\{0\}, \{0\}) = (4\pi\lambda\beta)^{-d/2} \sum_a \exp\left[-\frac{(aL)^2}{4\lambda\beta}\right]$$



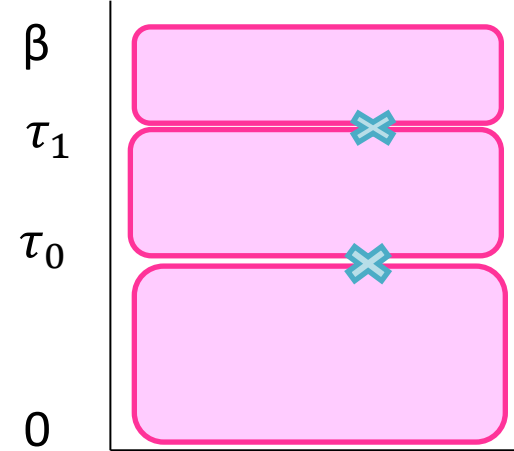
$$\begin{aligned} & W(\{G_{tr0}^{po} = \delta_{tt_0} \delta_{rr_0}\}, \{G_{tc}^{int} = 0\}) \\ &= \left[\frac{(4\pi\lambda\beta)^{-d/2}}{L^d} \sum_a \exp\left[-\frac{(aL + \mathbf{r}_{t_0 0} - \mathbf{r}_{t_0 0})^2}{4\lambda\beta}\right] \right] \times \rho^{po}(\mathbf{r}_{t_0 0}) \\ &= \left[\frac{(4\pi\lambda\beta)^{-d/2}}{L^d} \sum_a \exp\left[-\frac{(aL)^2}{4\lambda\beta}\right] \right] \times \rho^{po}(\mathbf{r}_{t_0 0}) \end{aligned}$$

$$\frac{W(\{\delta_{tt_0} \delta_{rr_0}\}, \{0\})}{W(\{0\}, \{0\})} = \frac{\rho^{po}(\mathbf{r}_{t_0 0})}{L^d}$$

$N_w=1$ で G^{po} が2つ入っているときの重み

※見えている粒子数 $N_c=c_0+c_1+N_w$ ($N_c \leq N$)

a:空間方向のワインディングナンバー
c:虚時間方向のワインディングナンバー

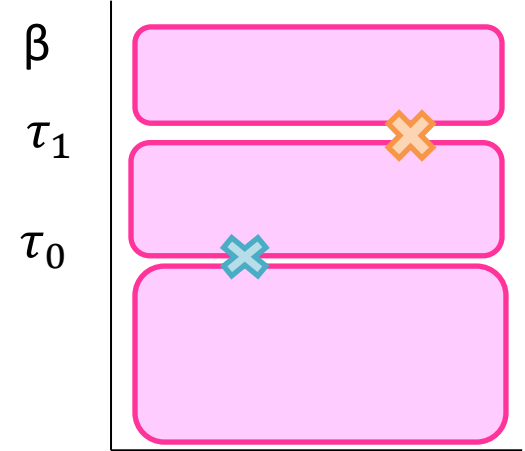


$$\begin{aligned}
 & W(\{G_{t_0}^{po} = \delta_{tt_0} \delta_{rr_0}, \delta_{tt_1} \delta_{rr_1}\}, \{G_{tc}^{int} = 0\}) \\
 &= \sum_N e^{\beta \mu N} \binom{N}{N_c} \rho^{po}(\mathbf{r}_{t_0 0}) \sum_{c_0} \left[\frac{(4\pi\lambda(c_0\beta + \tau_1 - \tau_0))^{-d/2}}{L^d} \sum_{a_0} \exp\left[-\frac{(a_0 L + \mathbf{r}_{t_0 0} - \mathbf{r}_{t_1 0})^2}{4\lambda(c_0\beta + \tau_1 - \tau_0)}\right] \right] \\
 &\quad \times \rho^{po}(\mathbf{r}_{t_1 0}) \sum_{c_1} \left[\frac{(4\pi\lambda((c_1 + 1)\beta - \tau_1 + \tau_0))^{-d/2}}{L^d} \sum_{a_1} \exp\left[-\frac{(a_1 L + \mathbf{r}_{t_1 0} - \mathbf{r}_{t_0 0})^2}{4\lambda((c_1 + 1)\beta - \tau_1 + \tau_0)}\right] \right]
 \end{aligned}$$

カノニカルの場合は N が確定され、和が要らなくなるだけ

$N_w=2$ で G^{po} が2つ入っているときの重み

※見えている粒子数 $N_c=c_0+c_1+N_w$ ($N_c \leq N$)



$$\begin{aligned}
 & W(\{G_{t_0}^{po} = \delta_{rr_0} \delta_{tt_0}, G_{t_1}^{po} = \delta_{rr_1} \delta_{tt_1}\}, \{G_{tc}^{\text{int}} = 0\}) \\
 &= \sum_N e^{\beta \mu N} \frac{N!}{(c_0+1)!(c_1+1)!(N-N_c)!} \sum_{c_0} \left[\frac{(4\pi\lambda(c_0+1)\beta)^{-d/2}}{L^d} \sum_{a_0} \exp \left[-\frac{(a_0 L + r_{t_0 0} - r_{t_0 0})^2}{4\lambda(c_0+1)\beta} \right] \right] \times \rho^{po}(r_{t_0 0}) \\
 &\quad \times \sum_{c_1} \left[\frac{(4\pi\lambda(c_1+1)\beta)^{-d/2}}{L^d} \sum_{a_1} \exp \left[-\frac{(a_1 L + r_{t_1 0} - r_{t_1 0})^2}{4\lambda(c_1+1)\beta} \right] \right] \times \rho^{po}(r_{t_1 1})
 \end{aligned}$$

アルゴリズムのまとめ

- 注意点
 - aに関しては減衰が早いので和のカットオフが小さくても大丈夫そう。
 - Nと c_k に関する和が計算コストを上げる。
- 配位空間のアップデートは次のプロセスからなる。
 - ① オペレーター(バーテックス)数の更新
 - ポアソン分布
 - ② 見えている世界線数 N_w の更新(グランドカノニカル)
 - N_c を決定したと等価 → 重みの式に入っている。ヒートバスなど。
 - ③ 虚時間方向のワインディングナンバー $\{c_k\}$ の更新(グランドカノニカル)
 - 重みの式に入っている。ヒートバスなど。
 - ④ 全粒子数Nの更新(グランドカノニカル)
 - 重みの式に入っている。メトロポリス？
- 例えば前ページの重みは次のようにNと $\{c_k\}$ の和がない形を使う。

$$W(\{G_{t_0}^{po} = \delta_{r_{t_0}} \delta_{t_{t_0}}, G_{t_1}^{po} = \delta_{r_{t_1}} \delta_{t_{t_1}}\}, \{G_{tc}^{int} = 0\}) = e^{\beta \mu N} \frac{N!}{(c_0 + 1)!(c_1 + 1)!(N - N_c)!} \left[\frac{(4\pi\lambda(c_0 + 1)\beta)^{-d/2}}{L^d} \sum_{a_0} \exp \left[-\frac{(a_0 L + r_{t_0,0} - r_{t_0,0})^2}{4\lambda(c_0 + 1)\beta} \right] \right] \times \rho^{po}(r_{t_0,0})$$

$$\times \frac{(4\pi\lambda(c_1 + 1)\beta)^{-d/2}}{L^d} \sum_{a_1} \exp \left[-\frac{(a_1 L + r_{t_1,0} - r_{t_1,0})^2}{4\lambda(c_1 + 1)\beta} \right] \times \rho^{po}(r_{t_1,1})$$

①バーテックスを位置 \mathbf{r} に挿入するときの確率

バーテックス密度

$$H^{po}(\mathbf{r}) = \Omega r^2$$

$$\rho^{po}(\mathbf{r}_{ti}) = \langle \psi_t | -H^{po}(\mathbf{r}_i) | \psi_t \rangle = C^{po} - \Omega \mathbf{r}_{ti}^2 > 0$$

$$\rho_{\max}^{po}(\mathbf{r}_{ti}) = \rho^{po}(\mathbf{r}_{ti} = 0) = C^{po}$$

$$\rho_{tot}^{po} = \sum_{i=0}^{N-1} \int_0^L d\mathbf{r}_{ti} \rho_{\max}^{po}(\mathbf{r}_{ti}) = C^{po} L^d N$$

バーテックス間距離:

$$l_w = -\log(1 - R) / \rho_{tot}^{po}$$

バーテックスを挿入する位置と粒子

$$P_{site}(\mathbf{r}_{ti}) = \frac{\rho_{\max}^{po}(\mathbf{r}_{ti})}{\rho_{tot}^{po}} = \frac{1}{L^d N}$$

実際にバーテックスを置く確率

$$P_{insert}(\mathbf{r}_{ti}) = \frac{\rho^{po}(\mathbf{r}_{ti})}{\rho_{\max}^{po}(\mathbf{r}_{ti})} = \frac{C^{po} - \Omega \mathbf{r}_{ti}^2}{C^{po}}$$

② N, c_0, c_1 を固定して N_c (N_w) を変化させるとき

例えば G が2つあり、最初1つの粒子が2つの G を通っていたが、更新後はそれぞれの G には別の粒子が割り当てられる場合

$$\begin{aligned}
 & W(\{G_{t_0}^{po} = \delta_{tt_0}, \delta_{tt_1}\}, \{G_{tc}^{\text{int}} = 0\}) \\
 &= e^{\beta\mu N} \frac{N!}{c_0!(c_1+1)!(N - N_c^{\text{before}})!} \left[\frac{(4\pi\lambda(c_0\beta + \tau_1 - \tau_0))^{-d/2}}{L^d} \sum_{a_0} \exp\left[-\frac{(a_0L + \mathbf{r}_{t_00} - \mathbf{r}_{t_10})^2}{4\lambda(c_0\beta + \tau_1 - \tau_0)}\right] \right] \times \rho^{po}(\mathbf{r}_{t_00}) \\
 &\quad \times \left[\frac{(4\pi\lambda((c_1+1)\beta - \tau_1 + \tau_0))^{-d/2}}{L^d} \sum_{a_1} \exp\left[-\frac{(a_1L + \mathbf{r}_{t_10} - \mathbf{r}_{t_00})^2}{4\lambda((c_1+1)\beta - \tau_1 + \tau_0)}\right] \right] \times \rho^{po}(\mathbf{r}_{t_10})
 \end{aligned}$$

$$N_c^{\text{before}} = c_0 + c_1 + 1$$

$$\begin{aligned}
 & W(\{G_{ti=0}^{po} = \delta_{rr_0} \delta_{tt_0}, G_{ti=1}^{po} = \delta_{rr_1} \delta_{tt_1}\}, \{G_{tc}^{\text{int}} = 0\}) \\
 &= e^{\beta\mu N} \frac{N!}{(c_0+1)!(c_1+1)!(N - N_c^{\text{after}})!} \left[\frac{(4\pi\lambda(c_0+1)\beta)^{-d/2}}{L^d} \sum_{a_0} \exp\left[-\frac{(a_0L + \mathbf{r}_{t_00} - \mathbf{r}_{t_00})^2}{4\lambda(c_0+1)\beta}\right] \right] \times \rho^{po}(\mathbf{r}_{t_00}) \\
 &\quad \times \left[\frac{(4\pi\lambda(c_1+1)\beta)^{-d/2}}{L^d} \sum_{a_1} \exp\left[-\frac{(a_1L + \mathbf{r}_{t_10} - \mathbf{r}_{t_10})^2}{4\lambda(c_1+1)\beta}\right] \right] \times \rho^{po}(\mathbf{r}_{t_11})
 \end{aligned}$$

$$N_c^{\text{after}} = c_0 + c_1 + 2$$

④ N_w, c_0, c_1 を固定してNを変化させるとき

$$\begin{aligned}
 & W(\{G_{t_0}^{po} = \delta_{tt_0}, \delta_{tt_1}\}, \{G_{tc}^{\text{int}} = 0\}) \\
 &= e^{\beta \mu N} \frac{N!}{c_0!(c_1+1)!(N-N_c)!} \left[\frac{(4\pi\lambda(c_0\beta + \tau_1 - \tau_0))^{-d/2}}{L^d} \sum_{a_0} \exp\left[-\frac{(a_0L + \mathbf{r}_{t_00} - \mathbf{r}_{t_10})^2}{4\lambda(c_0\beta + \tau_1 - \tau_0)}\right] \right] \times \rho^{po}(\mathbf{r}_{t_00}^2) \\
 &\times \left[\frac{(4\pi\lambda((c_1+1)\beta - \tau_1 + \tau_0))^{-d/2}}{L^d} \sum_{a_1} \exp\left[-\frac{(a_1L + \mathbf{r}_{t_10} - \mathbf{r}_{t_00})^2}{4\lambda((c_1+1)\beta - \tau_1 + \tau_0)}\right] \right] \times \rho^{po}(\mathbf{r}_{t_10})
 \end{aligned}$$

で、Nだけを変えて重みを計算すればよい。

③のckを変えるときも同様。

procedure

1. Configuration SpaceにPotential, μ ,interactionのうちのいずれかのバーテックスを置く。この時点で、どの粒子がバーテックスを通るか決まる。
2. 見えているワールドラインの本数を決める。
粒子数が保存するときは5へ。
3. 虚時間方向のワインディングナンバーを決める。
4. N の本数を決める。
5. 物理量の測定。
6. バーテックスを抜く。(確率1ではない。)